

## II-2 電気油圧式不規則波発生機について

京都大学工学部 正員 岩垣雄一

正員 村上仁士

京都大学大学院 学生員 酒井哲郎

学生員 木村晃

### 1. はじめに

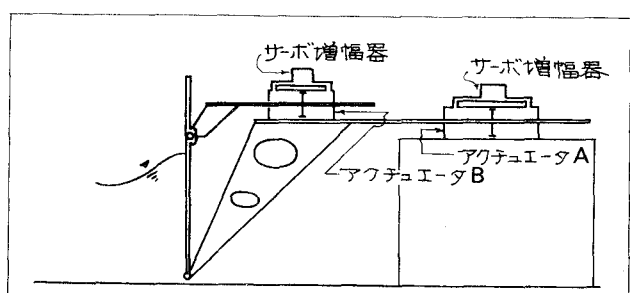
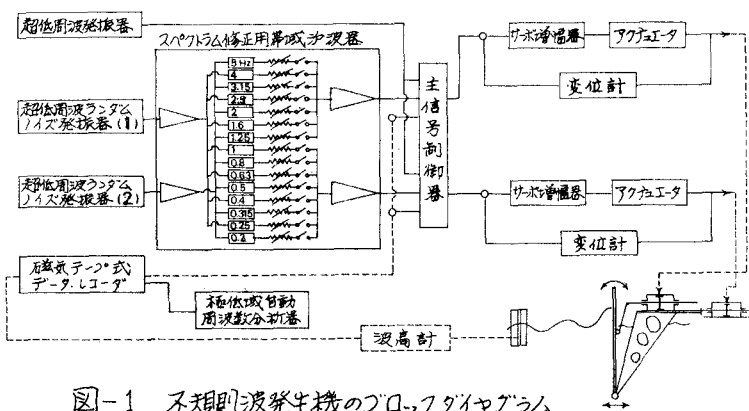
海岸工学上の諸問題は、従来一樣な規則波を対象として研究が行われ、それが計画設計に応用されてきている。しかし実際の海岸波浪は不規則波であって、その不規則特性は一般にスペクトルによって表現されるが、こうした波の不規則性がどの程度海岸工学上の諸問題に影響を及ぼすかはほとんどわかっていないといつてよい。このような意味から昨年京都で開催された国際水理学会議においても、「不規則波の発生と解析」というテーマのセミナーが行はれたりであるが、その際に不規則波の研究の必要性が議論され、発言者がすべて今後大いにその研究を進展させるべきであると主張していくことは注目すべきであつた。不規則波発生機には 1) 風洞水槽による方法、2) 波起板を駆動させらモータの回転数と運動の振幅と時々刻々変化させら方法、3) 有限個の正弦波を合成する方法、4) ランダム波を発生させる方法、などがあり、昨年は 3) の方法によるものと紹介したが、ここでは 4) の方法による発生機を試作したので、その原理、構造、造波特性などについて述べる。

### 2. 不規則波発生機の原理と構造

不規則波発生機は 2 基の

アクチュエータにより造波板に運動を与える駆動部、容量 40 ℥/min. の油圧ポンプを有する油圧源および本機に必要な制御回路を集めて制御装置の 3 つの独立したユニットから構成されている。

図-1 に示すように、不規則波発生機の入力信号としては、超低周波発振器、超低周波ランダムノイズ発振器およびデータレコーダからの外部入力を使用



して、正弦波、三角波、矩形波およびランダム波等の電気信号を発生させることができようになっている。ランダムノイズ発振器からの出力はDC~200Hzまで平坦なスペクトルを持ち、このうちの0.2~5Hz(0.2~5sec)を使用周波数範囲としている。この発振器の出力をスペクトラム修正用帯域フィルター導入、ここでは0.2~5Hzの範囲で1/3 oct. 幅に分割された帯域フィルターが5本組み合っており、しかもそれを各フィルターの出力を調整できるようになっており、注意のスペクトルを得ることができるようになっている。この帯域フィルターによって1Hz(1sec)以下のランダム波と1Hz以上との波に分割されて、2基のアクチュエータ駆動用のサーボ増幅器へ送られる。これらの電気信号は各サーボ増幅器により増幅されてサーボ弁に送られ、サーボ弁では油圧源から送り込まれる高圧油を入力信号にしたがって制御し、アクチュエータの往復運動シリニングの左右の室に交互に送り込み、ピストンを高速に作動させ送波板を駆動させる。この時、低周波(1Hz以下)の波形信号は図-3に示すように変位を駆動するアクチュエータ(A)を作動させ、高周波(1Hz以上)の波形信号は直接送波板を駆動するアクチュエータ(B)を駆動する。したがって、2つのアクチュエータの動きを合成した送波板の運動はその入力信号と同一の波形となるはずである。この時のピストンの運動は変位計によってとらえられ、変換器を通り電気信号として制御装置へフィードバックされ、入力信号との差が小さくなるよう、すばやく検出信号が入力信号と弄しくなるようサーボ機構が働く。

### 3. 不規則波発生機の送波特性

1) 入力信号の特性 超低周波発振器は正弦波、三角波および矩形波を発生させるものであり、出力波の発振周波数および発振振幅を自由に選択できるようになっている。図-3および図-4はそれぞれ正弦波および矩形波の入力信号(a)とそれによる送波板の変位(b)および発生波(c)の一例を示したものである。スペクトラム修正用帯域フィルターは1/3 oct のバンドパスフィルター5本を中心として構成され、各バンドパスフィルターの出力にはそれぞれ振幅調整器を

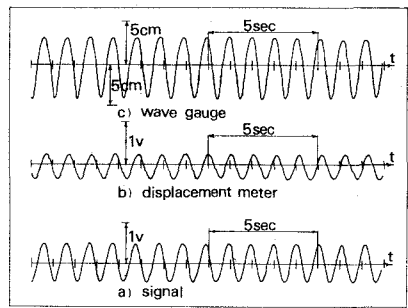


図-3 正弦波の入力信号、  
送波板の変位および水面波形

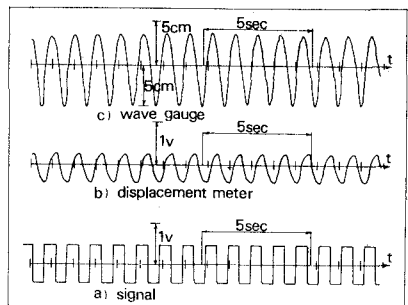


図-4 矩形波の入力信号、  
送波板の変位および水面波形

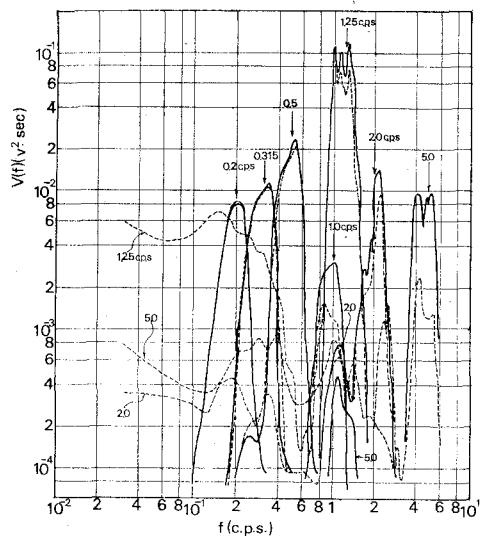


図-5 各帯域フィルターの周波数特性と  
送波板の変位スペクトル

備え、その出力と $0.2 \sim 1\text{ Hz}$  ( $1 \sim 5\text{ sec}$ )、 $1.25 \sim 5\text{ Hz}$  ( $0.2 \sim 0.8\text{ sec}$ ) のチャネルに分け、それとアキュエータを通じて造波板の運動として合成されるようになっている。図-5はそれぞれ $0.2$ 、 $0.315$ 、 $0.5$ 、 $1.0$ 、 $1.25$ 、 $2.0\text{ Hz}$  および $5.0\text{ Hz}$  のバンドパスフィルターを通して入力信号のスペクトル(実線)を造波板の変位のスペクトル(破線)と比較したものである。入力信号によるスペクトル(実線)から、 $2\text{ Hz}$  以上になると低周波に2次ピークが現れていふことがわかる。しかし、その絶対値は1次ピークの $1/10$ 以下であり、その影響はほとんど無視しうると考えられる。図-6は $0.2 \sim 5\text{ Hz}$  にわたり全バンドパスフィルターの振幅調整器を最大にした場合の入力信号のスペクトル(実線)と造波板の変位のスペクトル(破線)を示したものであり、(A)は $0.2 \sim 1\text{ Hz}$ 、(B)は $1.25 \sim 5\text{ Hz}$  の各チャネル別であることを示す。しかし図-5からもわかるように、各バンドパスフィルターの通過特性に多少の差があるため、エンドが平坦ではなくなりでかばりの凹凸が生じている。

2) 造波板の運動特性 図-3および図-4の(a) および(b) を比較すると入力信号に対する造波板の応答にわずかの時間遅れが生することわかる。図-5の破線によれば、 $1.25\text{ Hz}$  ( $0.8\text{ sec}$ ) よりも高周波の場合にはアキュエータ(B)のみが作用する機構についてはいつにもかゝらず低周波側に若干のスペクトル成分をもつていて、この原因はよくわからない。しかし、低周波成分のペリオスペクトルの絶対値そのものは大きくない。

図-6の破線から、入力信号に対する造波板の変位は $1.6\text{ Hz}$  ( $0.625\text{ sec}$ ) よりも高周波にむかうと、応答特性がいくぶん悪くひらめきがみられる。

3) 発生波の特性 造波板の運動と発生波の関係を調べるために、幅 $50\text{ cm}$ 、高さ $25\text{ cm}$ 、長さ $30\text{ m}$ の水槽を用い、水深を $30\text{ cm}$ として、造波板より約 $10\text{ m}$ の点に波高計を設置して発生波を測定した。正弦波および矩形波に対する測定例と図-3(c) および図-4(c) に示している。

図-7、図-8および図-9は、バンドパスフィルターの振幅調整器を最大にして、それと $0.2 \sim 1\text{ Hz}$  ( $1 \sim 5\text{ sec}$ )、 $1.25 \sim 5\text{ Hz}$  ( $0.2 \sim 0.8\text{ sec}$ ) および

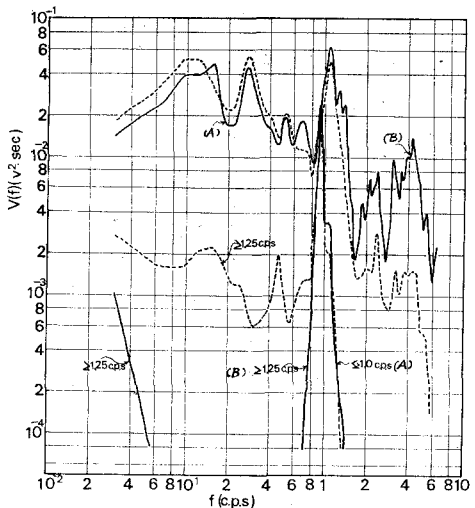


図-6  $0.2 \sim 1\text{ Hz}$  および $1.25 \sim 5\text{ Hz}$  の入力信号スペクトルと造波板変位スペクトル

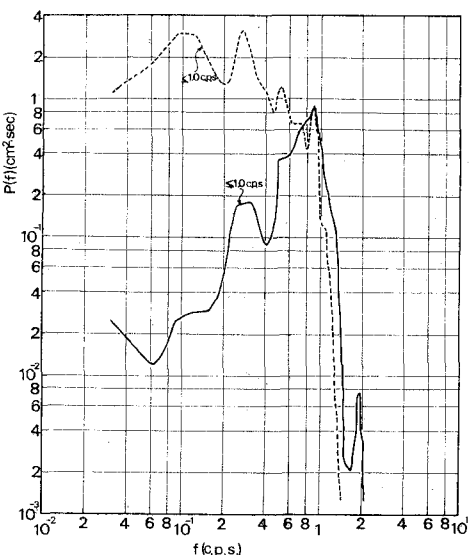


図-7  $0.2 \sim 1\text{ Hz}$  の入力信号による造波板の変位スペクトルと水面波スペクトル

0.2~5 Hz (0.2~5 sec) の間の送波板の変位(破線)と発生波(実線)の関係をスペクトルで示したものである。図-7はアクチュエータ(A)のみが作用した場合であるが、低周波になると送波板の運動に対する波の発生がかなり微弱となる。図-8はアクチュエータ(B)のみが作用した場合であるが2.5 Hz (0.4 sec) より高周波になると波がほとんど発生しない。図-9は図-7と図-8を加え合わせたものに相当するものであるが、図-7と比較して送波板のエネルギーが加わったものと考えられる。

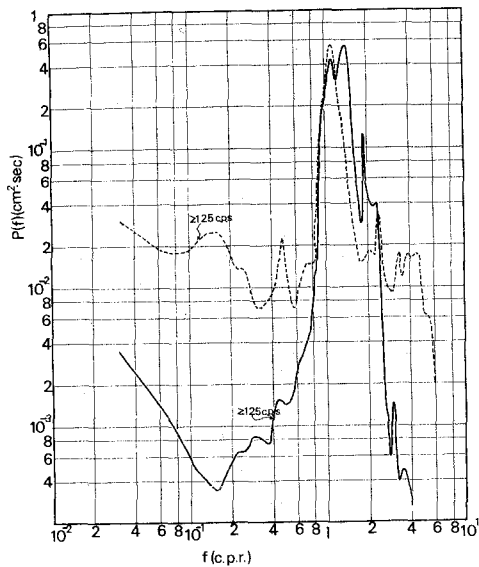


図-8 1.25~5 Hz の入力信号による送波板の変位スペクトルと水面波スペクトル

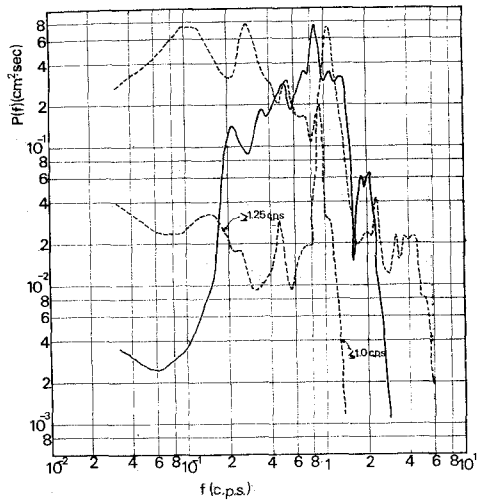


図-9 0.2~5 Hz の入力信号による送波板の変位スペクトルと水面波スペクトル

#### 4. あとがき

この発生機は、ノールウェイ工科大学から入手して文献を参照し、島津製作所にて製作を依頼し完成したもので、我が国ではこの種の方式の電気油圧式サーボ不規則波発生機は初めてであると思われる。今後、既設の合成波方式の発生機とともにこの発生機によって波の不規則性が海岸工学工の諸問題に及ぼす影響を詳細に調べていくつもりである。なお、この研究は文部省一般研究費による研究の一部であることを記し、謝意を表する。